

### 3. Flux d'un champ vectoriel à travers une surface

#### Ex. 3.1.1 Cas particulier

1) Calculer le flux du rotationnel du champ vectoriel

$$\vec{F} = xy^2 \vec{i} + (x+y) \vec{j}, \text{ à travers } \Sigma_1, \text{ région comprise entre les courbes } y=x^2 \text{ et } y=x, \text{ pour } x \geq 0.$$

2) Calculer le flux d'un champ magnétique :

$$\vec{B} = B_0 e^{-\alpha(x-x_0)} e^{-\beta(y-y_0)} (\vec{i} + \vec{j} + \vec{k})$$

à travers la surface  $\Sigma_2 = [x_0, x_0 + L] \times [y_0, y_0 + H]$

#### Ex. 3.2.2 Cas général

Soit  $\Sigma_3$  la frontière du solide fermé, formé par le paraboloides  $z = 1 - x^2 - y^2$  et le plan  $z = 0$ .

Calculer  $\iint_{\Sigma_3} \vec{F} \cdot d\vec{S}$  où  $\vec{F}(x, y, z) = y \vec{i} + x \vec{j} + z \vec{k}$

### 4. Théorèmes liés au flux

#### Ex. 4.1 Théo de Stokes-Ampère

##### Ex. 4.1.1 Cas particulier

Calculer la circulation du champ vectoriel :

$$\vec{A} = y \vec{i} - \sin x \vec{j}$$

sur le chemin  $A(0,0), B(0,1), C(1,1), D(1,0), A(0,0)$ .

1) Directement

2) En utilisant le théorème de Stokes-Ampère

##### Ex. 4.1.2 Cas général

Soit  $\Sigma$  le cône (ouvert) d'équation  $z = 1 - \sqrt{x^2 + y^2}$ , avec  $z > 0$ . On oriente  $\Sigma$  "vers l'extérieur". On définit le champ de vecteurs  $\vec{V}(-y, x, 1+x+y)$ .

a) Calculer  $\Phi_{\Sigma}(\overrightarrow{\text{rot}} \vec{V})$

b) Retrouver ce résultat à l'aide du théorème de S.A. (à faire seuls)

#### Ex. 4.2 Théo de Green-Ostrogradski

1) Calculer le flux du champ vectoriel  $\vec{F} = z \vec{i} + y \vec{j} + x \vec{k}$  sur la sphère unité  $x^2 + y^2 + z^2 = 1$

2) Calculer le flux du champ vectoriel  $\vec{F} = 4xy \vec{i} - y^2 \vec{j} + yz \vec{k}$  à travers la surface du cube délimité par  $x=0, x=1, y=0, y=1, z=0, z=1$

3) Montrer que le volume  $\mathcal{V}$  d'un corps limité par une surface  $[\Sigma]$  est  $\mathcal{V} = \frac{1}{3} \oiint_{\Sigma} \overrightarrow{OM} \cdot \vec{n} d\sigma$ . En déduire la valeur du flux du champ vectoriel  $\vec{r} = \overrightarrow{OM}$  à travers la surface totale du cylindre  $x^2 + y^2 = R^2$  situé entre  $z=0$  et  $z=h$

### 3. Flux d'un ch vect à travers une surf

#### Ex. 3.1.1 Cas particulier

\*\*\* Lorsque la surf d'int est plane et // xOy (i.e.  $\Sigma = \mathcal{D}$ ), un calcul de flux est une int double ordinaire (= cas particulier) \*\*\*

1) Calculer le flux du rotationnel du champ vectoriel :

$$\vec{F} = xy^2 \vec{i} + (x+y) \vec{j}$$

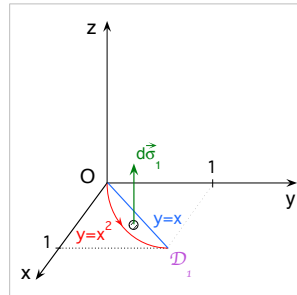
à travers  $\Sigma_1$ , région comprise entre les courbes  $y = x^2$  et  $y = x$ , pour  $x \geq 0$ .

Il s'agit de calculer :

$$\iint_{\Sigma_1} (\text{rot} \vec{F}) \cdot d\vec{\sigma}$$

• On commence par calculer le rot de F :

$$\begin{aligned} \text{rot} \vec{F} &= \vec{\nabla} \wedge \vec{F} = \begin{vmatrix} \partial_x & \partial_y & \partial_z \\ xy^2 & x+y & 0 \end{vmatrix} \\ &= \begin{vmatrix} 0 & 0 & 0 \\ 0 & 0 & 0 \\ 1-2xy & 0 & 0 \end{vmatrix} = (1-2xy) \vec{k} = \text{rot} \vec{F} \end{aligned}$$



• on oriente la surf ds le sens trigo (arbitraire, mais il faut le préciser !)  $\Rightarrow d\vec{\sigma}$  suivant Oz et orientée vers les val positives

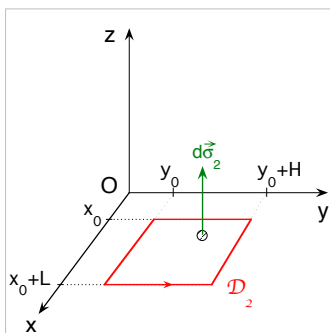
•  $\text{rot} \vec{F}$  et  $d\vec{\sigma}$  étant colin, le prod scal est immédiat et :

$$\begin{aligned} \iint_{\Sigma_1} (\text{rot} \vec{F}) \cdot d\vec{\sigma} &= \iint_{D_1} (1-2xy) dS = \int_0^1 dx \int_{x^2}^x (1-2xy) dy \\ &= \dots \\ &= \frac{1}{12} = \iint_{\Sigma_1} (\text{rot} \vec{F}) \cdot d\vec{\sigma} \end{aligned}$$

2) Calculer le flux d'un champ magnétique :

$$\vec{B} = B_0 e^{-\alpha(x-x_0)} e^{-\beta(y-y_0)} (\vec{i} + \vec{j} + \vec{k})$$

à travers le rectangle horizontal  $[x_0, x_0+L] \times [y_0, y_0+H]$



• on oriente la surf ds le sens trigo (arbitraire, mais à préciser !)  $\Rightarrow d\vec{\sigma}$  suivant Oz et orientée vers les val positives

Ici :

$$\vec{B} \cdot d\vec{\sigma} = B_0 e^{-\alpha(x-x_0)} e^{-\beta(y-y_0)} dx dy$$

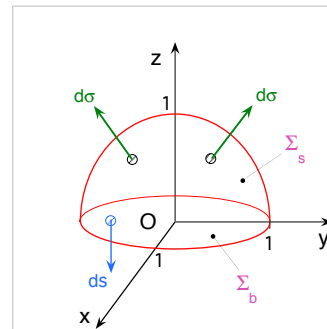
D'où

$$\begin{aligned} \iint_{\Sigma_2} \vec{B} \cdot d\vec{\sigma} &= \iint_{D_2} B_0 e^{-\alpha(x-x_0)} e^{-\beta(y-y_0)} dx dy \\ &= \int_{x_0}^{x_0+L} dx \int_{y_0}^{y_0+H} dy B_0 e^{-\alpha(x-x_0)} e^{-\beta(y-y_0)} \\ &= \dots \\ &= B_0 \frac{(1-e^{-\alpha L})(1-e^{-\beta H})}{\alpha\beta} = \iint_{\Sigma_2} \vec{B} \cdot d\vec{\sigma} \end{aligned}$$

#### Ex. 3.1.2 Cas général

Soit  $\Sigma_3$  la frontière du solide fermé par le paraboloïde  $z = 1 - x^2 - y^2$  et le plan  $z = 0$ .

Calculer  $\int_{\Sigma_3} \vec{F} \cdot d\vec{\sigma}$  où  $\vec{F}(x,y,z) = y \vec{i} + x \vec{j} + z \vec{k}$



**Att** : ici,  $\Sigma_3$  se compose de deux surf : une surf supérieure parabolique  $\Sigma_s$  et une surf de base circulaire  $\Sigma_b = S_b$  (fig). Vu que  $\Sigma_3$  est fermée, on adopte la convention de l'orientation positive "vers l'extérieur" (Ch.4, § 2.1).

Cela implique que  $\Sigma_s$  est

orientée vers le haut et on peut appliquer la formule du cours, avec  $\mathcal{D}$  = projection de  $\Sigma_s$  sur le plan xOy, donc le disque  $x^2 + y^2 \leq 1$ . On a donc :

$$\begin{aligned} \iint_{\Sigma_3} \vec{F} \cdot d\vec{\sigma} &= \iint_{\Sigma_s} (-F_x \partial_x z - F_y \partial_y z + F_z) dS \\ &= \iint_{\mathcal{D}} (1 + 4xy - x^2 - y^2) dS \\ &= \int_0^{2\pi} d\theta \int_0^1 (1 + 4p^2 \cos\theta \sin\theta - p^2) r dr = \frac{\pi}{2} = \iint_{\Sigma_3} \vec{F} \cdot d\vec{\sigma} \end{aligned}$$

(notation fréq en phys : att à ne pas intégrer  $d\theta$

avant d'avoir calculé l'intégrale en p, car fnc(θ))

• le disque  $S_b$  est orienté vers le bas, de sorte que son vecteur normal est  $\vec{n} = -\vec{k}$ . D'où :

$$\iint_{S_b} \vec{F} \cdot d\vec{\sigma} = \iint_{S_b} \vec{F} \cdot (-\vec{k}) dS = \iint_{\mathcal{D}} (-z) dS = \iint_{\mathcal{D}} (0) dS = 0$$

puisque  $z=0$  sur  $S_b$ .

$$\text{Enfin, par déf, } \iint_{\Sigma_3} \vec{F} \cdot d\vec{\sigma} = \iint_{\Sigma_s} \vec{F} \cdot d\vec{\sigma} + \iint_{S_b} \vec{F} \cdot d\vec{\sigma} = \frac{\pi}{2}$$

## 4. Théorèmes liés au flux

### Ex. 4.1 Théo de Stokes-Ampère

#### Ex. 4.1.1 Cas

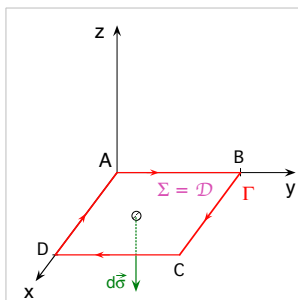
##### particulier

**Rem** "cas particulier" lorsque la surface d'intégration est **plane** et // (xOy)  $\Rightarrow (\Sigma = \mathcal{D})$  et on retrouve la formule de Green Riemann (vue au §2)

Calculer la circulation du champ vectoriel :

$$\vec{A} = y\vec{i} - \sin x\vec{j}$$

sur le chemin A(0,0), B(0,1), C(1,1), D(1,0), A(0,0).



#### 1) Directement (à faire seuls) (cf fig au 2))

$$\oint_{\Gamma} \vec{A} \cdot d\vec{OM} = \oint_{\Gamma} y dx - \sin x dy = \int_{x=0 \Rightarrow dx=0}^{x=1} y dx + \int_{y=1 \Rightarrow dy=0}^{y=0} -\sin x dy + \int_{x=1 \Rightarrow dx=0}^{x=0} y dx + \int_{y=0 \Rightarrow dy=0}^{y=1} -\sin x dy$$

$$= \dots = 1 + \sin 1 = \oint_{\Gamma} y dx - \sin x dy$$

#### 2) En utilisant le théorème de Stokes-Ampère

$$\left\{ \iint_{\Sigma} (\text{rot} \vec{A}) \cdot d\vec{\sigma} = \oint_{\Gamma} \vec{A} \cdot d\vec{OM} \right\}$$

ici :

$$\text{rot} \vec{A} = \vec{\nabla} \wedge \vec{A} = \begin{vmatrix} \partial_x & \partial_y & \partial_z \\ y & -\sin x & 0 \\ 0 & 0 & -\cos x - 1 \end{vmatrix}$$

$$\iint_{\Sigma} (\text{rot} \vec{A}) \cdot d\vec{\sigma} = \iint_{\Sigma} (\text{rot} \vec{A}) \cdot (-\vec{k}) d\sigma = \iint_{\mathcal{D}} -(-\cos x - 1) dx dy$$

$$= \int_0^1 dy \int_0^1 (\cos x + 1) dx$$

$$= (\sin 1 + 1) = \iint_{\Sigma} (\text{rot} \vec{A}) \cdot d\vec{\sigma}$$

#### Ex. 4.1.2 Cas général

1) Soit  $\Sigma$  le cône (ouvert) d'éq.  $z = 1 - \sqrt{x^2 + y^2}$ , avec  $z > 0$ . On oriente  $\Sigma$  "vers l'ext". On déf le ch. de vect

$$\vec{V}(-y, x, 1+x+y).$$

#### a) Calculer $\Phi_{\Sigma}(\text{rot} \vec{V})$

**rem** ici, une seule surface (cône ouvert) non plane ( $\neq$  du 2) (faire fig). ( $\tan \alpha = 1 \Rightarrow \alpha = \pi/4$ )

cours (§ 3)  $\Rightarrow$  si on pose

$\text{rot} \vec{V} = \vec{W}$ , alors (formule pratique)

$$\iint_{\Sigma} \vec{W} \cdot d\vec{\sigma} = \iint_{\mathcal{D}} (-W_x \partial_x g - W_y \partial_y g + W_z) dS$$

• Calculons  $\vec{W} = \text{rot} \vec{V}$

$$\text{rot} \vec{V} = \vec{\nabla} \wedge \vec{V} = \begin{vmatrix} \partial_x & \partial_y & \partial_z \\ -y & x & 1+x+y \\ 0 & 0 & 0 \end{vmatrix} = \begin{vmatrix} 1 & -1 & 1 \\ 0 & 0 & 0 \\ 0 & 0 & 0 \end{vmatrix} = \vec{W}$$

• D'où le flux :  $\Phi_{\Sigma}(\text{rot} \vec{V})$

$$\Phi_{\Sigma}(\text{rot} \vec{V}) = \iint_{\Sigma} \vec{W} \cdot d\vec{\sigma} = \iint_{\mathcal{D}} (-W_x \partial_x g - W_y \partial_y g + W_z) dS$$

$$= \iint_{\mathcal{D}} \left( \frac{x}{\sqrt{x^2 + y^2}} - \frac{y}{\sqrt{x^2 + y^2}} + 2 \right) dS = \Phi_{\Sigma}(\text{rot} \vec{V})$$

Étant donné la sym de  $\mathcal{D}$  et de la fonc à intégrer, passons en polaires : sur  $\mathcal{D}$ ,  $\rho \in [0, 1]$  et  $\theta \in [0, 2\pi]$  et

$$\Phi_{\Sigma}(\text{rot} \vec{V}) = \int_0^{2\pi} d\theta \int_0^1 (\cos \theta - \sin \theta + 2) \rho d\rho$$

$$= 2\pi = \iint_{\Sigma} \text{rot} \vec{V} \cdot d\vec{\sigma} = \Phi_{\Sigma}(\text{rot} \vec{V})$$

b) Retrouver ce résultat à l'aide du théorème de S.A.

**Long ! (à faire seuls pour s'entraîner...)**

ici  $\Gamma$  est le cercle du plan xOy de centre O et de rayon 1, orienté ds le sens trigo ....

Noter que sur  $\Gamma$  (courbe qui délimite  $\mathcal{D}$ ) qui a pour éq. :  $x^2 + y^2 = 1$ ,  $z = 0 \Rightarrow dz = 0$ . D'où :

$$\oint_{\Gamma} \vec{V} \cdot d\vec{OM} = -y dx + x dy + \underbrace{(1+x+y) dz}_{z \text{ et donc } dz=0, \text{ sur } \Gamma}$$

Pour calculer cette int curv I (cas  $\Gamma$  quelconque) il faut décomposer  $\Gamma$  en 4 quarts de cercle

#### Ex. 4.2 Théo de Green-Ostrogradski

1) Calculer le flux du champ vectoriel  $\vec{F} = z\vec{i} + y\vec{j} + x\vec{k}$  sur la sphère unité  $x^2 + y^2 + z^2 = 1$

On peut calculer le flux directement ou (bcp plus rapide et facile !) à partir du théo de Gr.Os.

• à partir du théo de Gr.Os :

On calcule d'abord :

$$\text{div} \vec{F} = \nabla \cdot \vec{F} = \partial_x(z) + \partial_y(y) + \partial_z(x) = 1 \quad (\text{déf } \forall (x, y, z) \in \mathcal{V})$$

La sphère unité, ferme la boule B d'éq.  $x^2 + y^2 + z^2 \leq 1$ . Le théo de Gr-Os conduit à :

$$\iint_{\Sigma} \vec{F} \cdot d\vec{\sigma} = \iiint_{\mathcal{V}} \text{div} \vec{F} dV = \iiint_{\mathcal{V}} 1 dV = V_{(\text{boule})} = \frac{4}{3}\pi$$

**rem** : bien faire att à ce que la div soit déf  $\forall (x, y, z) \in \mathcal{V}$ , sinon l'int triple n'a pas de sens !

- calcul direct (plus long et plus difficile, donc méthode moins intéressante ! Mais le faire à la maison pour s'entraîner ...)

2) (vu en cours) Calculer le flux du champ vectoriel  $\vec{F} = 4xy\vec{i} - y^2\vec{j} + yz\vec{k}$  à travers la surface du cube délimité par  $x=0, x=1, y=0, y=1, z=0, z=1$

- à partir du théo de Gr.Os :

On calcule d'abord (la) :

$$\operatorname{div} \vec{F} = \nabla \cdot \vec{F} = \partial_x(4xy) + \partial_y(-y^2) + \partial_z(yz) = 4y - 2y + y = 3y$$

(déf  $\forall (x, y, z) \in \mathcal{V}$ )

Le théo de Gr-Os conduit à :

$$\iint_{\Sigma} \vec{F} \cdot d\vec{\sigma} = \iiint_{\mathcal{V}} \operatorname{div} \vec{F} dV = \iiint_{\mathcal{V}} 3y dV = \int_0^1 dx \int_0^1 dz \int_0^1 3y dy = \frac{3}{2}$$

- calcul direct (il faut calculer  $\Phi$  à travers les 6 faces du cube ) long ! (mais le faire pour s'entraîner ...)

3) Montrer que le vol.  $\mathcal{V}$  d'un corps limité par une surface  $[\Sigma]$  est  $\mathcal{V} = \frac{1}{3} \oiint_{\Sigma} \vec{OM} \cdot d\vec{\sigma}$ . En déduire la val. du flux du ch. vect.  $\vec{r} = \vec{OM}$  à travers la surf. tot. du cyl. (i.e. le **cylindre fermé**)  $x^2 + y^2 = R^2$  situé entre  $z=0$  et  $z=h$

(à partir du théo de Gr.Os)

On calcule d'abord la div. : (en cartés. par ex)

$$\operatorname{div} \vec{r} = \nabla \cdot \vec{r} = \partial_x(x) + \partial_y(y) + \partial_z(z) = 3 \quad (\text{déjà vu !})$$

(déf  $\forall (x, y, z) \in \mathcal{V}$ )

$$\text{d'où : } \iiint_{\mathcal{V}} \underbrace{\operatorname{div} \vec{r}}_3 dV = 3\mathcal{V}$$

$$\text{Le théo de Gr-Os s'écrit : } \oiint_{\Sigma} \vec{r} \cdot d\vec{\sigma} = \underbrace{\iiint_{\mathcal{V}} \operatorname{div} \vec{r} dV}_{3\mathcal{V}}$$

$$\text{D'où } \mathcal{V} = \frac{1}{3} \oiint_{\Sigma} \vec{r} \cdot d\vec{\sigma} \quad \text{CQFD}$$

L'application de ce résultat au cylindre, montre que le flux de  $\vec{r}$  à travers (toute) sa surface (y compris les disques de base) est égale à 3 fois son volume, soit

$$3 \cdot \pi R^2 h$$